

возрастает и среднее время пребывания становится настолько меньше периода индукции, что движение прореагировавшей жидкости практически прекращается. Переход давления при $\kappa/\kappa_* > 1$ связан с расходом и характеристиками течения на выходе из трубы соотношениями

$$\kappa \approx \kappa_* + \omega, \frac{\kappa}{\kappa} \approx \frac{1 - R^4}{1 + R^4}, \frac{\kappa}{\kappa_*} \approx \frac{1}{2} \left[\frac{\omega}{\omega_*} + \frac{\omega_*}{\omega'} \right], \omega' < \omega_*,$$

а при $\kappa/\kappa_* < 1$

$$\frac{\kappa}{\kappa_*} \approx 2 \frac{\omega}{\omega_*} - \frac{\omega^2}{\omega_*^2}.$$

Предположения, сделанные при решении гидродинамической задачи, не позволяют рассмотреть в данной работе критические явления, связанные с неоднозначным характером зависимости расхода жидкости от перехода давления [3].

Автор выражает благодарность В. Г. Абрамову, А. М. Столину и Н. Г. Самойленко за ценные советы и обсуждения.

Поступила 20 I 1976

ЛИТЕРАТУРА

- Современное состояние гидродинамики вязкой жидкости. Т. 1. Издатинлит, 1948.
- Лойцянский Л. Г. Механика жидкости и газа. М., «Наука», 1970.
- Ваганов Д. А. Критические явления, вызванные изменением вязкости с глубиной превращения.— ПМТФ, 1975, № 2, с. 168.

УДК 532.517.2 + 536.24

ВЯЗКОСТНО-ГРАВИТАЦИОННОЕ ТЕЧЕНИЕ В ТРУБАХ ПРИ МАЛОМ ВЛИЯНИИ ТЕРМОГРАВИТАЦИИ

A. Ф. Поляков

(Москва)

Имеется довольно много работ, посвященных исследованию вязкостно-гравитационного течения в трубах. Однако все имеющиеся в этих работах расчетные рекомендации относятся к случаю стабилизованного течения. В то же время практически во всех реальных объектах развитие процесса происходит в начальном участке, так как для наступления стабилизации требуются большие длины труб.

В данной работе проведено аналитическое исследование границ и характера начала влияния термогравитационных сил на поля скорости, температуры, сопротивление трения и теплоотдачу в любом сечении по длине произвольно расположенных в пространстве круглых труб при постоянной плотности теплового потока на стенке ($q_w = \text{const}$).

Воспользуемся уравнением движения, записанным для вихря,

$$(1) \quad d\omega/d\tau = (\omega \nabla) u + v \Delta \omega + \text{rot} \rho g,$$

где $\omega = \text{rot} u$, $u = v e_r + w e_\varphi + u e_x$; g — ускорение силы тяжести; v — кинематический коэффициент вязкости.

Задача решается при следующих предпосылках: 1) процесс стационарный; 2) физические свойства жидкости постоянны за исключением изменения плотности, учитываемого в члене массовых сил, зависимость плотности от температуры представляется в виде $\rho = \rho_{w,0}[1 - \frac{\rho(t)}{\rho_{w,0}} - t_{w,0}]$, коэффициент объемного расширения β принимается постоянным; 3) в сечении, соответствующем началу обогрева, задается установившееся параболическое распределение скорости $u_l = 2\bar{u}(1 - R^2)$; 4) рассматривается вязкостно-гравитационное течение при слабом влиянии термогравитационных сил, т. е. имеется малое отклонение от величин, характерных для вязкостного течения; 5) изменение параметров вдоль течения существенно меньше, чем по радиусу; 6) задача решается при краевом условии второго рода $q_w = -\lambda \partial t / \partial r|_{r=d/2} = \text{const}$.

При решении задачи, кроме уравнения (1), используется записанное в безразмерной форме уравнение неразрывности

$$(2) \quad \frac{\partial}{\partial R} (RV) + \frac{\partial W}{\partial \varphi} = 0$$

и линеаризованное уравнение для малого отклонения температуры

$$(3) \quad \frac{U'}{4} \frac{\partial \Theta_l}{\partial X} - \frac{\text{Pe}}{2} V \frac{\partial T_l}{\partial R} - \frac{1}{R} \frac{\partial}{\partial R} R \frac{\partial \Theta}{\partial R} + \frac{1}{R^2} \frac{\partial^2 \Theta}{\partial \varphi^2},$$

где $R = 2r/d$; d — диаметр трубы; $V = v/\bar{u}$ — радиальная компонента скорости; $W = w/\bar{u}$ — тангенциальная компонента; \bar{u} — средняя скорость; $\Theta = (t - t_l)\lambda/q_w d = [(t_{w,l} - t_l)\lambda/q_w d] - [(t_{w,l} - t)\lambda/q_w d] = T_l - T$.

Для решения задачи необходимо знать поле температуры при вязкостном течении T_l по всей длине трубы. Результаты численного [1] и аналитического [2] решений при постоянных физических свойствах и $q_w = \text{const}$ обобщены в интервале $5 \cdot 10^{-4} < X < \infty$ в виде следующих интерполяционных зависимостей:

при $R \geq R_m$

$$(4) \quad T_l = T_m \left(1 - \frac{4}{3} R_*^{2+\alpha} + \frac{1}{3} R_*^{4+2\alpha} \right),$$

где

$$T_m = (3/8)[1 - \exp(-78X)]; \quad R_* = (R - R_m)/(1 - R_m); \\ R_m = \exp(-14\sqrt{X}); \quad \alpha = 0,03X^{-2/3};$$

при $R \leq R_m$

$$(5) \quad T_l = T_m,$$

где $X = x/Ped$; $\text{Pe} = \text{Pr} \cdot \text{Re}$ — число Пекле; $\text{Re} = \bar{u}d/\nu$ — число Рейпольдса; Pr — число Прандтля; $U' = (U - U_l) = u'/\bar{u}$ — отклонение аксиальной компоненты скорости.

Безразмерная температура Θ_l описывается выражением

$$(6) \quad \Theta_l = \frac{t_b - t_+}{q_w d} \lambda + \frac{t_{w,l} - t_b}{q_w d} \lambda - \frac{t_{w,l} - t_l}{q_w d} \lambda - 4X + \frac{1}{\text{Nu}_l} - T_l,$$

где t_b — среднемассовая температура жидкости в данном сечении; t_+ — температура жидкости во входном сечении; t_w — температура стенки; t_l — температура жидкости при ламинарном течении; $\text{Nu} = q_w d / \lambda (t_w - t_b)$ — число Нуссельта.

В соответствии с предложениями, приведенными в [3], число Nu_l удовлетворительно описывается выражениями

$$(7) \quad 1/Nu_l = X^{1/3}/1,31(1 + 2X) \text{ при } X < 0,037,$$

$$Nu_l = 4,36 \text{ при } X > 0,07,$$

где Nu_l — число Нуссельта при ламинарном течении.

Получить решение в общем виде с использованием зависимостей (4) — (7) не представляется возможным. Поэтому ищутся решения для шести значений приведенной длины $X = x/Ped$ ($X = 6,5 \cdot 10^{-4}; 10^{-3}; 1,84 \cdot 10^{-3}; 5,2 \cdot 10^{-3}; 1,47 \cdot 10^{-2}; X > 0,07$), соответствующих значениям $\alpha = 4; 3; 2; 1; 0,5; 0$.

В соответствии с принятыми предположениями уравнение (1) в проекциях на оси цилиндрических координат в безразмерной форме запишется в виде

$$(8) \quad \frac{d^2}{dR^2} \Omega_\varphi + \frac{1}{R} \frac{d}{dR} \Omega_\varphi - \frac{\Omega_\varphi}{R^2} = \frac{Gr}{4 Re} \frac{\partial T_l}{\partial R} \cos \psi;$$

$$(9) \quad -\frac{1}{R} \frac{\partial}{\partial R} R \frac{\partial \Omega_x}{\partial R} + \frac{1}{R^2} \frac{\partial^2 \Omega_x}{\partial \varphi^2} = \frac{Gr}{4 Re} \frac{\partial (RT_l)}{\partial R} \sin \varphi \cdot \sin \psi;$$

$$(10) \quad \frac{1}{R} \frac{\partial}{\partial R} R \frac{\partial \Omega_r}{\partial R} + \frac{\partial^2 \Omega_r}{R^2 \partial^2 \varphi} = \frac{Re}{2} \frac{dU_i}{R dR} \frac{\partial V}{\partial \varphi}, \text{ где}$$

$$(11) \quad \Omega_\varphi = \frac{\omega_\varphi d}{2u} = \Omega_{\varphi,l} + \Omega'_\varphi = -\partial U / \partial R, U = U_i + U';$$

$$(12) \quad \Omega_x = \Omega'_x = \frac{1}{R} \left[\frac{\partial}{\partial R} (RW) - \frac{\partial V}{\partial \varphi} \right], W = W', V = V';$$

$$(13) \quad \Omega_r = \Omega'_r = \frac{1}{R} \partial U' / \partial \varphi,$$

где φ — угол по окружности трубы, отсчитываемый от верхней образующей; ψ — угол между осью и вертикалью; $Gr = g \beta q_w d^4 / \lambda v^2$ — число Грасгофа.

Система уравнений (2), (3), (8) — (10) решается при следующих граничных условиях:

при $R = 0$ все значения конечны; при $R = 1$ $U = 0, V = 0, W = 0, \partial \vartheta / \partial R = 0$; при $R = R_m$ все функции и их производные равны соответственно («шивка» решений для ядра и пристенной области);

$$\text{при } \varphi = \pi/2 \int_0^1 W dR = 0;$$

$$\text{при } \psi = 0 \text{ и } R = 0 \quad \partial U / \partial R = 0, \quad \partial \vartheta / \partial R = 0;$$

$$\int_0^1 RU' dR = 0 \text{ или } 2 \int_0^1 RU dR = 1.$$

Решая уравнение (8) в соответствии с рекомендациями [4] и используя указанные выше граничные условия, из определения (11) получим выражение доли аксиальной компоненты скорости, обусловленной воздействием аксиальных сил,

$$(14) \quad U_a = U_i + U'_a = 2(1 - R^2) + \frac{Gr T_m}{12 Re} \left\{ 0,75 R_m^2 (2 - R_m^2) \times \right.$$

$$\left. \times (1 - R^2) + 2(1 - R^2) \int_{R_m}^1 R^2 \Gamma dR - \int_{R_m}^1 \Gamma dR + \right.$$

$$+ \left[\begin{array}{l} 0,75R^2 - 0,75R_m^2(1 - 2\ln R_m) \text{ при } R \leq R_m \\ \left(1,5R_m^2 \ln R + \int_{R_m}^R \Gamma dR \right) \text{ при } R \geq R_m \end{array} \right] \cos \psi,$$

где $\Gamma = f(R, X)$.

Результаты численного расчета по уравнению (14) аппроксимированы для всех значений X и R интерполяционным уравнением

$$(15) \quad U_a = 2(1 - R^2) + 2,25 \cdot 10^{-3} \frac{\text{Gr}}{\text{Re}} [1 - \exp(-72X)^{3/2} \times \\ \times \{1 - [1,1(2-R)^{3/2} \sin^2 0,6\pi R^2 + 0,1 \sin \pi R] \times \\ \times \bar{1} + [1 - 1,5 \exp(-150X)](1-R^2)\}] \cos \psi.$$

Компоненту вихря Ω_x будем искать из уравнения (9) в виде произведения

$$\Omega_x = A_x(R, X) \sin \psi \cdot \sin \varphi.$$

После подстановки этого выражения в уравнение (9) получим уравнение относительно A_x , аналогичное (8).

После того, как найдено распределение Ω_x для шести указанных выше значений X , распределение тангенциальной W и радиальной V компонент скорости ищутся из соотношения (12) и уравнения неразрывности (2). При этом для W использована аналогичная Ω_x подстановка и вновь решено уравнение вида (8), в правую часть которого входит функция Ω_x .

Рассчитанные распределения V аппроксимированы интерполяционным уравнением

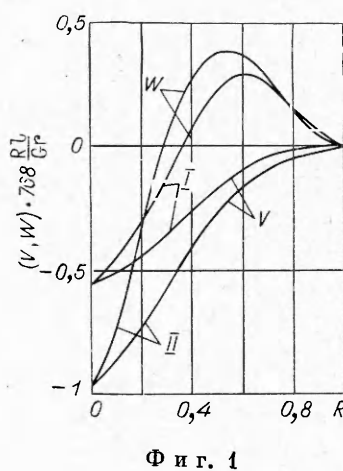
$$V = -(\text{Gr}/800\text{Re})[1 - \exp(-12,5\sqrt{X})](1 - R^2)^4 \cos \varphi \cdot \sin \psi.$$

На фиг. 1 показано распределение тангенциальной компоненты скорости в горизонтальной диаметральной плоскости и радиальной компоненты скорости в вертикальной диаметральной плоскости при $\psi = \pi/2$ и значениях $X = 5,2 \cdot 10^{-3}$ (кривая I), $X > 0,07$ (кривая II) для случая обогреваемой стенки. Распределение компонент скорости показывает, что вторичные свободноконвективные токи образуют систему двух продольных вихрей с восходящим течением вблизи стенки и нисходящим вблизи оси. При одном и том же значении Gr/Re интенсивность вторичных токов при уменьшении X уменьшается. В случае охлаждения стенки направление вторичных токов противоположное.

Используя подстановку $\Omega_r = \gamma \sin \varphi \times \sin \psi$, уравнение (10) можно преобразовать относительно γ к виду, аналогичному (8). Из (13) найдем отклонение аксиальной компоненты скорости U_v' , обусловленное вторичными течениями,

$$(16) \quad U_v' = \frac{\text{Gr}}{800} [1 - \exp(-12,5\sqrt{X})] R^2 \times \\ \times (-0,37 + 0,667R - 0,532R^2 + \\ + 0,342R^5 - 0,128R^7 + 0,02R^9) \cos \varphi \cdot \sin \psi.$$

Поскольку задача рассматривается в пределах линейного приближения, полная



Фиг. 1

деформация аксиальной компоненты скорости U' может быть представлена в виде суммы двух слагаемых, описываемых соотношениями (15), (16),

$$(17) \quad U = U_l + U' = U_l + U'_a + U'_v.$$

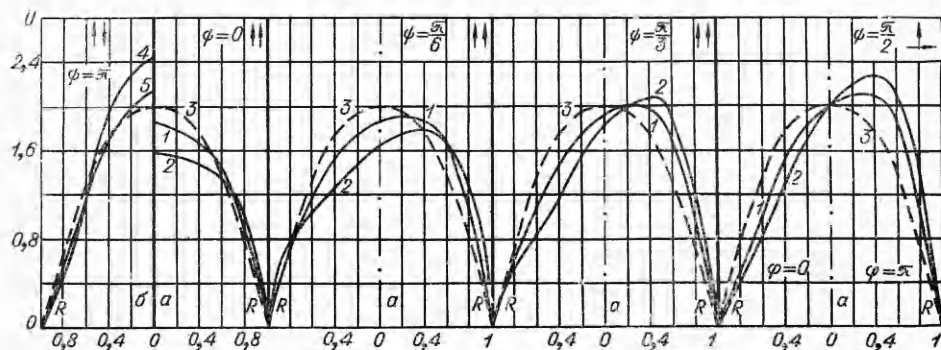
Отметим, что параметр, характеризующий влияние свободной конвекции на вынужденное течение, различен для различных компонент скорости и для различной ориентации трубы относительно поля силы тяжести. Так, при описании распределения тангенциальной и радиальной компонент скорости входит параметр Gr/Re , в то время как при описании аксиальной компоненты — параметры Gr/Re и Gr . Для двух крайних положений трубы деформация аксиальной компоненты скорости описывается различными параметрами: при вертикальном ($\psi = 0$) — Gr/Re , при горизонтальном ($\psi = \pi/2$) — Gr . На изменение параметров, описывающих вязкостно-гравитационное течение и теплообмен при различном положении трубы, указывалось в работе [5], где рассматривалась аналогичная задача для стабилизованных условий. На фиг. 2 показана рассчитанная по зависимостям (15) — (17) деформация аксиальной компоненты скорости в вертикальной диаметральной плоскости для четырех положений трубы, начиная от вертикального ($\psi = 0$) и кончая горизонтальным ($\psi = \pi/2$). Расчет выполнен для значений $Gr = 2 \cdot 10^4$ и $(Gr/Re) = 200$ при значениях приведенной длины $X = 5,2 \cdot 10^{-3}$ (кривые 1) и $X > 0,07$ (кривые 2). Распределение скорости при вязкостно-гравитационном течении сравнивается с параболическим профилем при ламинарном течении (кривые 3). На фиг. 2, а, б соответственно приведены случаи течения снизу вверх и сверху вниз в обогреваемой трубе.

При вертикальном положении трубы деформация профиля скорости описывается параметром Gr/Re . С увеличением угла ψ между вертикалью и осью трубы начинают развиваться вторичные течения и деформация профиля скорости U описывается как параметром Gr/Re , так и Gr . В случае горизонтального положения деформацию U определяют вторичные течения, и она характеризуется только значением числа Gr . Вторичные течения приводят к увеличению скорости в нижней части трубы ($\varphi = \pi$).

Используя соотношения

$$\Omega_\varphi|_{R=1} = -\frac{dU}{dR}|_{R=1} = \frac{\tau_w}{\mu} \frac{d}{2u}, \langle \tau_w \rangle = 2 \int_0^\pi \tau_w d\varphi,$$

получим выражение, определяющее изменение среднего по окружности напряжения трения на стенке $\langle \tau_w \rangle$, а следовательно, и коэффициента



Фиг. 2

сопротивления трения ξ

$$\frac{\langle \tau_w \rangle}{\tau_{w,l}} = \frac{\xi}{\xi_l} = 1 \pm \frac{Gr T_m}{48 Re} \left[-\Gamma|_{R=1} + 1,5 R_m^2 (1 - R_m^2) + \right. \\ \left. + 4 \int_{R_m}^1 R^2 \Gamma dR \right] \cos \psi = 1 \pm \frac{Gr}{Re} \lambda(X) \cos \psi.$$

Значения $\lambda(X)$ рассчитаны для шести указанных ранее значений X и аппроксимированы интерполяционным уравнением

$$\lambda(X) = 2 \cdot 10^{-3} [1 - \exp(-126X)]^{3/2}.$$

Отклонение температуры ϑ получим из уравнения (3) в виде

$$(18) \quad \vartheta = \omega_1 \cos \varphi \sin \psi + \omega_2 \cos \psi.$$

После подстановки (18) в уравнение (3) решения двух независимых дифференциальных уравнений относительно ω_1 и ω_2 и аппроксимации соответствующих решений в интервале $5 \cdot 10^{-4} < X < \infty$ получены следующие выражения для ω_1 и ω_2 :

$$\omega_1 = 9,1 \cdot 10^{-6} Ra [1 - \exp(-100X)]^3 \begin{cases} k_1 R \text{ при } R \leq \frac{1+k_2}{k_1+k_2} \\ 1 + k_2(1-R) \text{ при } R \geq \frac{1+k_2}{k_1+k_2} \end{cases},$$

где

$$k_1 = 1 + 2,7[1 - \exp(-48X)]; \\ k_2 = 0,38[1 - \exp(-10\sqrt{X})]; \\ \omega_2 = 5,5 \cdot 10^{-4} \frac{Gr}{Re} \begin{cases} (a_0 - a_2 R^2 + a_4 R^4 - 0,4 R^6 + 0,025 R^8) \text{ при } R \geq R_m \\ (b_0 - b_2 R^2 + b_4 R^4) \text{ при } R \leq R_m \end{cases},$$

где

$$a_0 = 0,086[1 - \exp(-40X)]; \quad a_2 = [1 - 0,65 \exp(-40X)]; \\ a_4 = 1,05[1 - 0,31 \exp(-40X)]; \quad b_0 = 0,086[1 - \exp(-30X)]; \\ b_2 = [1 - \exp(-65X)]; \quad b_4 = 0,25[1 - \exp(-65X)].$$

Соотношения (18) показывают, что деформация поля температуры определяется параметрами Ra и Gr/Re . При этом в случае вертикального положения трубы определяющим параметром так же, как и для профиля скорости, является Gr/Re . В случае же горизонтального положения деформация поля температуры определяется числом $Ra = Pr Gr$, в то время как деформация распределения аксиальной компоненты скорости — числом Gr . Таким образом, в зависимости от значения числа Pr при горизонтальном (а также наклонном, хотя и в меньшей степени) положении трубы более существенным будет изменение профиля скорости или профиля температуры.

В работе [6] на основании экспериментальных данных, полученных при вязкостно-гравитационном течении в горизонтальной трубе жидкости с числом $Pr \approx 80$, показано, что при одном и том же значении числа Gr деформация профиля температуры значительно более сильная, чем деформация профиля скорости. Опытные данные [7] по профилям скорости и температуры при вязкостно-гравитационном течении воздуха ($Pr = 0,7$) показывают, что степень деформации профилей скорости и температуры приблизительно одинакова. Эти результаты качественно соответствуют

полученным в данной работе результатам. Количественное сравнение результатов расчетов с экспериментальными данными, к сожалению, привести невозможно, так как опытные данные получены при сильном влиянии термогравитации. Отсюда следует вывод, что по профилю температуры нельзя судить о степени влияния термогравитации в потоке жидкого металла при $\text{Pr} \ll 1$.

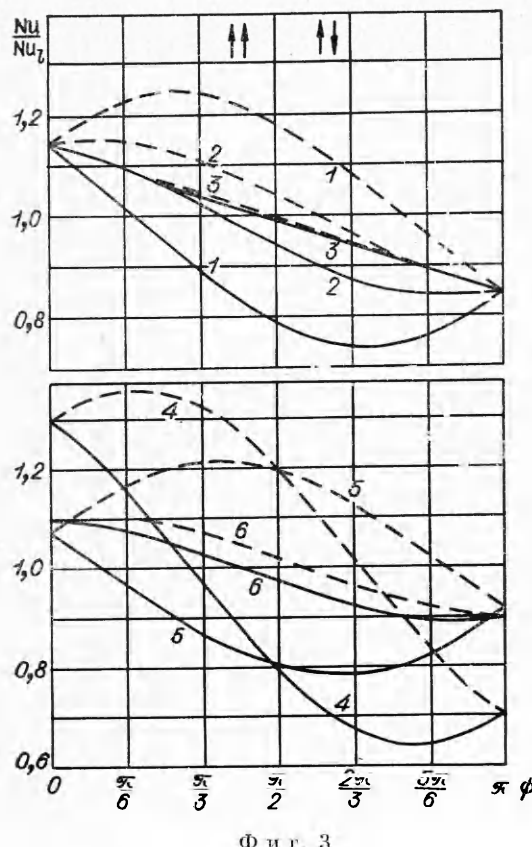
Значение ϑ на стенке определяет приращение безразмерной температуры стенки (следовательно, и числа Nu), т. е.

$$(19) \quad \vartheta|_{R=1} = \dot{\vartheta}_w = (t_w - t_{w,l})\lambda/q_w d = 1/\text{Nu} - 1/\text{Nu}_l = \\ = \omega_{1w} \cos \varphi \cdot \sin \psi + \omega_{2w} \cos \psi.$$

Из соотношений (18), (19) получим

$$(20) \quad \text{Nu}/\text{Nu}_l = 1 + \text{Nu}_l \{1,32 \cdot 10^{-4} (\text{Gr}/\text{Re}) [1 - \exp(-40X)] \cos \psi - \\ - 9,1 \cdot 10^{-6} \text{Ra} [1 - \exp(-100X)]^3 \cos \varphi \cdot \sin \psi\}.$$

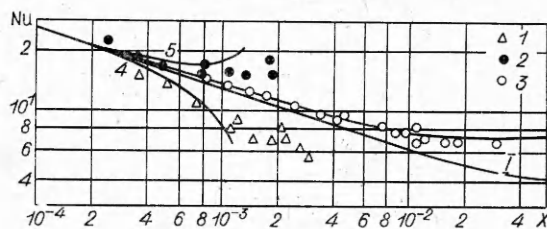
На фиг. 3 показано рассчитанное по зависимости (20) изменение относительного значения числа Нуссельта на верхней ($\varphi = 0$, сплошные кривые) и нижней ($\varphi = \pi$, штриховые кривые) образующих обогреваемой трубы в зависимости от угла ψ между вертикалью и осью трубы. В пределах значения угла $0 \leq \psi < \pi/2$ имеет место течение снизу вверх, а при $\pi/2 < \psi \leq \pi$ — течение сверху вниз. Кривые 1—5 относятся к случаю наибольшего проявления влияния термогравитации по длине, т. е. к значениям $X > 0,07$. При уменьшении X влияние термогравитации уменьшается, как это следует из всех приведенных зависимостей. Кривые 1 получены при значениях $(\text{Gr}/\text{Re}) = 250$, $\text{Ra} = 5 \cdot 10^3$. При всех значениях угла ψ , за исключением непосредственной близости от вертикального положения в пределах, не превышающих 10° , наблюдается существенная разность в теплоотдаче на верхней и нижней образующих. При этом теплоотдача на нижней образующей принимает максимальное значение (или максимальное значение на верхней образующей) где-то в среднем положении трубы между вертикальным и горизонтальным. При уменьшении числа Прандтля (фактически уменьшении Ra) разность в теплоотдаче на верхней и нижней образующих уменьшается. Кривые 1—3 относятся к одному и тому же значению Gr/Re , но разным значениям Ra . Значение Ra для кривых 2 в 4 раза меньше, чем для кривых 1, а для кривых 3 число $\text{Ra} < 10^2$. Кривые 3 фактически соответствуют вязкостно-гравитационному



Фиг. 3

онному течению жидких металлов. Для данного сочетания параметров местная теплоотдача жидких металлов в горизонтальных трубах нечувствительна к влиянию термогравитации, тогда как в вертикальных трубах оно будет существенным. Следует помнить, что при этом имеет место сильная деформация профилей скорости в горизонтальных и наклонных трубах, как показано на фиг. 1, 2. Кривые 4 и 5 показывают изменение теплоотдачи при тех же значениях Gr и Pr , что и для кривых 1, но при других значениях Re . Изменение числа Re оказывается на теплоотдачу в вертикальных трубах. Кривые 4 построены для значения $(Gr/Re) = 500$, а кривые 5 — $(Gr/Re) = 125$. Влияние приведенной длины проиллюстрировано кривыми 6, которые построены для $X = 5,2 \cdot 10^{-3}$ и других параметров, соответствующих кривым 4. Видно, что теплоотдача в наклонных трубах изменяется весьма специфическим образом. В частности, при некоторых наклонах возможны ситуации, когда теплоотдача вдоль одной образующей практически не изменяется, тогда как вдоль другой образующей изменяется очень существенно.

На фиг. 4 показано сравнение расчетов местной теплоотдачи по зависимости (20) с опытными данными, полученными при вязкостно-гравитационном течении воды в горизонтальной [8] и вертикальной [9] трубах. Линия 1 относится к случаю ламинарного течения. Опытные данные 2 по теплоотдаче на верхней и данные 3 по теплоотдаче на нижней образующей горизонтальной трубы получены при $Ra = 7 \cdot 10^6$. Соответствующие кривые 4, 5 рассчитаны для того же значения Ra . Опытные данные 3, полученные в вертикальной трубе, и расчетная кривая 6 относятся к значению $(Gr/Re) = 1,2 \cdot 10^8$. На основании проведенного сопоставления с экспериментальными данными можно сделать вывод о правильности расчета в пределах справедливости предположения о малом.



Фиг. 4

Поступила 27 I 1976

ЛИТЕРАТУРА

1. Виленский В. Д., Петухов Б. С., Харин Б. Е. Теплообмен и сопротивление в круглой трубе при ламинарном течении газа с переменными физическими свойствами. III. Результаты расчета при постоянной плотности теплового потока на стенке трубы.— ТВТ, 1971, т. 9, № 3.
2. Siegel R., Sparrow E. M., Hallman T. M. Steady laminar heat transfer in a circular tube with prescribed wall heat flux.— «Appl. Scient. Res. Sect. A», 1958, vol. 7, N 5.
3. Петухов Б. С. Теплообмен и сопротивление при ламинарном течении жидкости в трубах. М., «Энергия», 1967.
4. Камке Э. Справочник по обыкновенным дифференциальным уравнениям. М., «Наука», 1970.
5. Iqbal, Stachiewicz J. W. Influence of tube orientation on combined free and forced laminar convection heat transfer.— «Trans. ASME. Ser. C, J. of Heat Transfer», 1966, vol. 88, N 1. Рус. пер. «Теплопередача», 1966, № 1.
6. Siegwarth D. P., Hanratty T. J. Computational and experimental study of the effect of secondary flow on the temperature field and primary flow in a heated horizontal tube.— «Int. J. Heat Mass Transfer», 1970, vol. 13, p. 27—42.
7. Mori Y., Futagami K., Tokuda S., Nakamura M. Forced convection heat transfer in uniformly heated horizontal tubes (1 st report-experimental study on the effect of buoyancy).— «Int. J. Heat Mass Transfer», 1966, vol. 9, N 5.

8. Петухов Б. С., Поляков А. Ф. Экспериментальное исследование теплообмена при вязкостно-гравитационном течении жидкости в горизонтальной трубе.— ТВТ, 1967, т. 5, № 1.
 9. Петухов Б. С., Поляков А. Ф., Стригин Б. К. Исследование теплообмена в трубах при вязкостно-гравитационном течении.— В кн.: Тепло- и массоперенос. Т. 1. М., «Энергия», 1968, с. 607.
-

УДК 532.529.2

ОБ ОДНОМ СЛУЧАЕ СМЕШАННОЙ КОНВЕКЦИИ

B. B. Попов

(Ленинград)

Пусть в горизонтальном слое под влиянием неравномерного нагрева сверху происходит конвекция и одновременно существует течение вдоль слоя, вызванное другими причинами (внешний поток). Предположим, что скорость этого потока находится в той же плоскости, что и скорости конвективных потоков, так что конвекция будет либо помогать частице двигаться вдоль слоя, либо препятствовать этому. Рассмотрим случай малоинтенсивной конвекции, который описывается линеаризованными уравнениями. При этом течение считается ползущим, а обратное влияние конвекции на температурное поле несущественным. Такой режим течения будет при малых числах Грасгофа и малых скоростях внешнего потока.

Уравнения в приближении Буссинеска, описывающие конвекцию при таких предположениях, в плоском стационарном случае в безразмерных переменных имеют вид

$$\Delta^2\psi = \text{Gr} \frac{\partial T}{\partial x}, \quad \Delta T = 0,$$

где ψ — функция тока; T — температура; Gr — число Грасгофа. За единицу длины принята высота слоя H , температуры — разность между максимальным и минимальным значениями температуры на границе, функции тока — v (значение кинематического коэффициента вязкости).

Примем следующие граничные условия. Пусть сверху задано распределение температуры в виде

$$T(x, 1) = \sin kx.$$

Снизу слой теплоизолирован

$$(1) \quad \frac{\partial T}{\partial y} = 0.$$

Верхнюю границу слоя предположим свободной, причем деформацией границы, вызванной конвекцией, пренебрежем, а нижнюю будем считать твердой. Обозначив объем жидкости, протекающей в направлении оси x за единицу времени, через $\psi_1 (\psi_1 \geq 0)$, имеем следующие граничные условия для функции тока:

$$\psi(x, 0) = (\partial\psi/\partial y)(x, 0) = 0;$$

$$(2) \quad \psi(x, 1) = \psi_1, \quad (\partial^2\psi/\partial y^2)(x, 1) = 0.$$